

## Список литературы

- [1] Bubenzer A., Dischler D., Brant G. et. al. // J. Appl. Phys. 1983. Vol. 54. N 8. P. 4590–4595.
  - [2] Locher R., Wild C., Koidl R. // Surf. and Coat. Tech. 1991. Vol. 47. P. 426–432.
  - [3] Fujii K., Shohota N., Mikami M. et al. // Appl. Phys. Lett. 1985. Vol. 47. N 4. P. 370–372.
  - [4] Яковлев В.Б., Васильев Л.К., Коншина Е.А. и др. // ЖПС. 1990. Т. 53. № 5. С. 863–865.
  - [5] Аззам Р., Башаран Н. Эллипсометрия и поляризованный свет. М.: Мир, 1981. 582 с.
  - [6] Pascual E., Serra C., Estevel J. // Surf. and Coat. Tech. 1991. T. 47. P. 263–268.
  - [7] Swith F.W. // J. Appl. Phys. 1984. T. 55. N 3. P. 764–771.
  - [8] Robertson J. // Adv. Phys. 1986. T. 35. N 4. P. 317–324.
  - [9] Коншина Е.А., Баранов А.В. // Поверхность. 1989. № 4. С. 53–58.
  - [10] Catterine X., Coudere P. // Thin solid Films. 1986. T. 144. N 2. P. 265–280.
- 

05:06

Журнал технической физики, т. 65, в. 1, 1995

© 1995 г.

## ВЛИЯНИЕ ТЕМПЕРАТУРЫ НА УДАРНУЮ ИОНИЗАЦИЮ В АМОРФНЫХ ПОЛУПРОВОДНИКАХ

*В.А.Васильев, М.Е.Кумеков, Е.И.Теруков*

Физико-технический институт им. А.Ф. Иоффе РАН,  
194021, Санкт-Петербург, Россия  
(Поступило в Редакцию 15 июня 1994 г.)

В [1,2] было показано, что квантовая эффективность внутреннего фототефекта *a*-C:H и халькогенидном стекле (ХС) *c*-TlAsSe<sub>2</sub> увеличивается ( $\eta > 1$ ) при энергии фотонов  $h\nu_i > 2-2.5E_g$  ( $E_g$  — оптическая ширина запрещенной зоны). Это увеличение обусловлено ударной ионизацией горячих носителей заряда, однако механизм этого процесса неясен.

С целью получения информации о механизме ударной ионизации в аморфных полупроводниках нами проведены исследования влияния температуры на фотопроводимость (ФП) и квантовую эффективность [ $\eta(h\nu)$ ] в пленочных структурах *a*-Si:H и *c*-TlAsSe<sub>2</sub> в интервале энергий фотонов 1.5–6.3 эВ и диапазоне  $T = 96-400$  К.

Образцы для исследований представляют собой тонкопленочные структуры Al/*a*-Si:H/Al и Cr/TlAsSe<sub>2</sub>/Cr с планарным расположением электродов, расстояние между которыми составляло 20 мкм. Более подробно изготовление структур и методика их исследования в видимом и УФ диапазоне излучений описана в [1,2]. Вычисление спектральной зависимости  $\eta(h\nu)$  проводилось с учетом числа поглощенных фотонов. Для этих целей измерялись спектры оптического поглощения и отражения ( $\alpha$  и  $R$ ).

Типичные спектральные зависимости квазистационарного фототока ( $i_\phi$ ) для *a*-Si:H при трех различных температурах приведены на

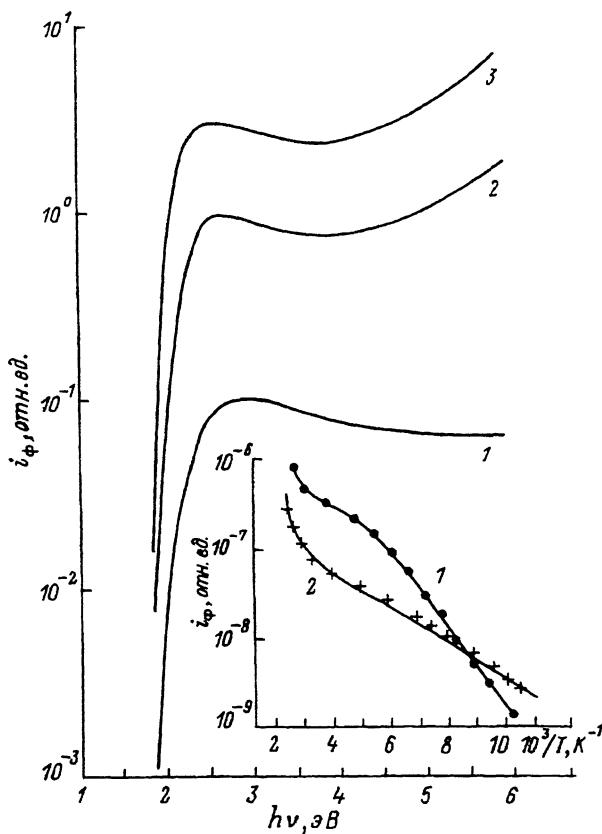


Рис. 1. Спектральная зависимость фототока структур Al/a-Si:H/Al при различных температурах.

$T, K$ : 1 — 96, 2 — 295, 3 — 400. Фототок приведен к равному числу падающих фотонов. На вставке температурная зависимость фототока при облучении квантами света с энергией: 1 —  $h\nu = 2.5$ , 2 — 5.0 эВ.

рис. 1. Красная граница фоточувствительности от температуры определяется зависимостью  $E_g$  от  $T$ . На вставке рис. 1 приведены зависимости фототока от обратной температуры при облучении монохроматическим светом с энергией фотонов 2.5 (кривая 1) и 5.0 эВ (кривая 2). Изменение фототока характеризуется экспоненциальной зависимостью  $i_\phi \sim \exp(-E_a/kT)$  с энергиями активации  $E_a = 0.12$  и  $0.07$  эВ соответственно. Аналогичные исследования  $i_\phi(T)$  были проведены и для TlAsSe<sub>2</sub>, где энергии активации составили  $E_a = 0.23$  эВ при облучении  $h\nu = 2.5$  эВ и  $E_a = 0.20$  эВ при  $h\nu = 5$  эВ.

Используя спектральные зависимости  $i_\phi(h\nu)$ ,  $\alpha(h\nu)$  и  $R(h\nu)$ , при допущении  $\mu\tau = \text{const}$  были вычислены спектры квантовой эффективности внутреннего фотоэффекта, которые для a-Si:H и TlAsSe<sub>2</sub> при трех температурах приведены на рис. 2, а и б. Из рисунка видно, что основные характеристики ударной ионизации при оптическом возбуждении, а именно пороговая энергия увеличения  $\eta > 1(h\nu_i)$  и средняя энергия образования электронно-дырочной пары ( $\Delta_i$ ) (штриховая прямая), сильно зависят от температуры. Так, при понижении температуры ве-

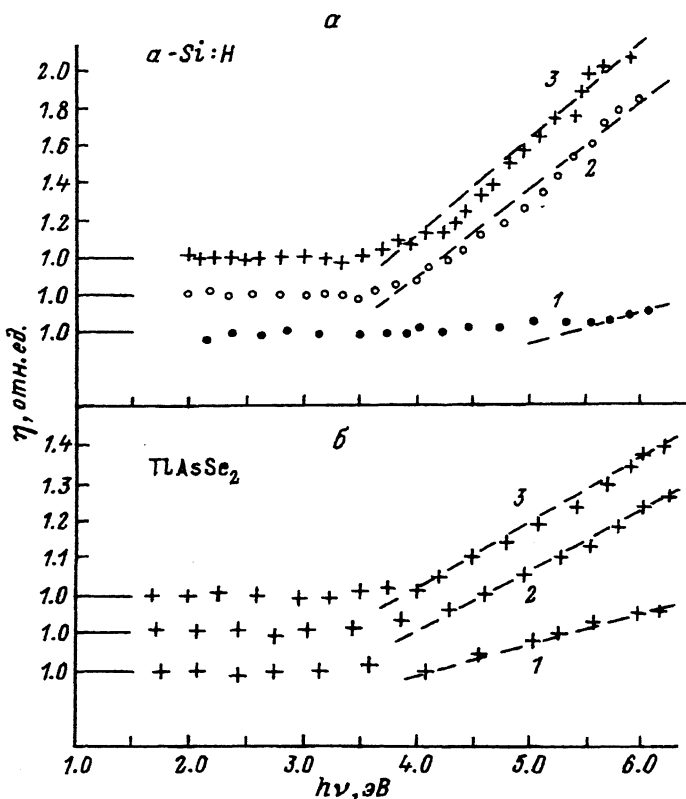


Рис. 2. Спектральная зависимость квантовой эффективности внутреннего фотоэффекта в  $\alpha$ -Si:H (a) при  $T = 96$  (1),  $295$  (2),  $400$  К (3) и в  $\text{TlAsSe}_2$  (б) при  $T = 230$  (1),  $295$  (2),  $345$  К (3).

личина  $h\nu_i$  сдвигается в область больших энергий и  $\Delta_i$  увеличивается. Для  $T = 293$  К  $h\nu_i > 2E_g \sim 3.6$  эВ и  $\Delta_i = 2.4$  эВ на пару в  $\alpha$ -Si:H и  $h\nu > 2.5$ ,  $E_g \sim 3.5$  эВ и  $\Delta_i = 5.6$  эВ на пару в  $\text{TlAsSe}_2$ .

Следует отметить, что изменение от температуры величин  $h\nu_i$  и  $\Delta_i$  в аморфных полупроводниках имеет противоположный характер по сравнению с кристаллическими полупроводниками. Например, в кристаллическом кремнии наблюдаются уменьшение  $\Delta_i$  и увеличение  $h\nu_i$  с понижением температуры [3].

Процесс ударной ионизации в аморфных полупроводниках в основном определяется законом сохранения энергии, процессами термализации носителей заряда и типом структуры аморфной сетки. Энергия кванта света при поглощении в области энергий, где  $\eta > 1$ , распределяется между электроном и дыркой таким образом, что один из носителей приобретает кинетическую энергию достаточную для того, чтобы ионизовать еще одну электронно-дырочную пару, которая дает вклад в фототок. Температурные зависимости величин  $h\nu_i$  и  $\Delta_i$  показывают, что если вероятность ударной ионизации не зависит от температуры, то большая часть носителей, рожденная этим процессом, не дает вклада в фототок при низкой температуре. Вероятно, носители заряда захватываются в этом случае на глубокие локализованные состояния.

ния хвостов соответствующих зон. Их вклад в фототок определяется дрейфовой подвижностью  $\mu$  и энергией активации носителей в делокализованные состояния. При повышении температуры  $\mu$  увеличивается и спектр квантовой эффективности характеризуется определенной пороговой энергией и малой энергией образования электронно-дырочной пары, т.е. все большее число носителей, рожденных процессом ударной ионизации, дают вклад в фототок.

Таким образом, проведенные исследования показали, что в процессе ударной ионизации при  $\eta > 1$  в аморфных полупроводниках определяющую роль имеет дрейфовая подвижность носителей заряда, которая контролируется спектром локализованных состояний соответствующих разрешенных зон и зависит от типа структуры аморфной сетки.

Авторы выражают благодарность А.С. Волкову за полезное обсуждение результатов и В.Е. Челнокову за поддержку и интерес к данной работе.

### Список литературы

- [1] Атаев Ж., Васильев В.А., Волков А.С. и др. // Письма в ЖТФ. 1991. Т. 17. Вып. 3. С. 81–84. ФТП. 1991. Т. 25. Вып. 8. С. 1350–1354.
- [2] Васильев В.А., Кумеков М.Е., Теруков Е.И. и др. // Письма в ЖТФ. 1993. Т. 19. Вып. 9. С. 24–27.
- [3] Брицин К.И., Вавилов В.С. // Опт. и спектр. 1960. Т. 8. Вып. 6. С. 861–864.

---

02;03;04;05;06;10;11;12

© 1995 г.

Журнал технической физики, т. 65, в. 1, 1995

## ОСОБЕННОСТИ ПРОЦЕССОВ ОСАЖДЕНИЯ И СВОЙСТВА СЛОЕВ КРЕМНИЯ, ПОЛУЧЕННЫХ СТРУЙНЫМ ПЛАЗМОХИМИЧЕСКИМ МЕТОДОМ С ЭЛЕКТРОННО-ЛУЧЕВОЙ АКТИВАЦИЕЙ ГАЗОВ

Р.Г.Шарафутдинов,<sup>1</sup> М.Р.Бакланов,<sup>2</sup> Б.М.Аюпов,<sup>3</sup> А.М.Бадалян,<sup>4</sup>  
О.В.Поляков,<sup>3</sup> А.В.Скрыников,<sup>1</sup> А.В.Парахневич,<sup>1</sup>  
К.Могильников,<sup>2</sup> С.А.Бирюков<sup>2</sup>

<sup>1</sup> Институт теплофизики СО РАН, 630090 Новосибирск, Россия

<sup>2</sup> Институт физики полупроводников СО РАН, Новосибирск, Россия

<sup>3</sup> Институт неорганической химии СО РАН, Новосибирск, Россия  
(Поступило в Редакцию 15 июня 1994 г.)

1. Интерес к пленкам гидрогенизированного аморфного кремния  $a\text{-Si:H}$  определяется целым рядом практических приложений, главными из которых в настоящее время является создание  $p-i-n$ -структур для солнечных элементов и функциональных слоев активных транзисторных матриц для жидкокристаллических дисплеев. Чаще всего пленки  $a\text{-Si:H}$  синтезируют в плазмохимических ВЧ-реакторах. Процессы в таких реакторах принципиально плохо